

## SD 数演算を用いた 2 進浮動小数点加算回路の構成

細川 純一<sup>†</sup> 魏 書剛<sup>†</sup>

† 群馬大学工学部 情報工学科

〒 376-3515 群馬県桐生市天神町 1-5-1

E-mail: †{hosokawa,wei}@ja4.cs.gunma-u.ac.jp

あらまし 従来の 2 進数演算に基づく浮動小数点演算システムでは、2 の補数表現を用いて加減算を行っている。加減算の演算数の仮数部は絶対値と符号からなるため、演算数の順番の入れ換えや加算における桁上げ伝搬は演算の速度を制限してしまう。本論文では、2 進 SD(Signed-Digit) 数演算を導入することにより、従来の方法における演算数の入れ換え及び桁上げによる演算制限を軽減させ、高速な 2 進浮動小数点加算回路を実現することを目的とする。提案する浮動小数点加算回路の内部は SD 数加算回路を中心とした構成になるが、外部の入出力数表現は従来の 2 進小数点数表現を用いる。そのために、効率的な丸め及び SD 数 - 2 進数変換回路を提案する。VHDL による回路設計及びシミュレーションを行い、従来の浮動小数点加算回路と比較することにより回路性能を考察する。

キーワード SD 数 , 浮動小数点数表現 , 加算回路 , 端数処理 , VHDL

## Architecture of Binary Floating-point Adder Using Signed-Digit Number Arithmetic

Junichi HOSOKAWA<sup>†</sup> and Shugang WEI<sup>†</sup>

† Department of Computer Science, Gunma University

Tenjin1-5-1,Kiryu-shi,376-3515 Japan

E-mail: †{hosokawa,wei}@ja4.cs.gunma-u.ac.jp

**Abstract** In a floating-point number arithmetic system based on the conventional binary number arithmetic, two's complement number representation is used to perform addition/subtraction in the floating-point addition circuit. Since the significands for addition/subtraction are expressed in a signed-magnitude number representation, the swapping operation of the two operands is required. Moreover, the carry propagation in the addition will also limit the arithmetic speed. In this paper, we introduce a radix-two signed-digit(SD) number arithmetic to the floating-point number arithmetic system. Then the swapping operation is not required and the carry propagation becomes free for the inner addition. We present an addition circuit architecture using the SD arithmetic with the input/output data in a normal binary floating-point number representation. Efficient SD number rounding and SD-to-binary conversion circuits are also proposed.

**Key words** Signed-Digit Number , floating-point number representation , addition circuit , rounding , VHDL

### 1. はじめに

現在数多くのコンピュータやデジタル信号処理プロセッサのような数値演算システムは浮動小数点数表現を用いている。浮動小数点数の演算回路は加減乗除の四則演算回路を基本としているが、そのうちの加算はもっとも重要であり、演算の大部分を占める。

従来の 2 進数演算に基づく浮動小数点演算システムでは、その入出力では絶対値符号の数表現により仮数部が表され

ているが、内部では 2 の補数表現を用いて加減算を行っている[1][2][3]。この時に発生する桁上げ伝搬や演算数の順番の入れ換えは回路に長い遅延時間を発生させ、演算の速度を制限してしまうことになる[4]。

一方、2 進数の符号化技法を用いて高速な演算回路アルゴリズムを研究するという関心は高く、SD(Signed Digit) 数系もその中の 1 つである[5]。SD 数系では、演算の各桁は下位桁の中間結果により加減算を行うことで各桁を並列に計算し、桁上げによる遅延時間を発生させなくなるという性質を持ってお

り、様々なVLSI演算が提案されている[6][7]。しかし、SD数演算を用いた浮動小数点数演算回路は報告されていない。従来の浮動小数点加算回路で、演算数の順番の入れ替えは一般にswapperと呼ばれ、指数部の大小によって仮数の演算順番を決定するが、同じ指数をもつ場合、仮数部の比較を行うため、演算の遅延に主な原因の1つである。冗長な数表現であるSD数演算の導入は、仮数部の演算順番を決定する必要がなくなるのでswapperそのものを省くことができる。

また、浮動小数点加減算回路内において仮数部の加減算や演算の順番入れ替えのみならず、桁揃えのためのビット・シフト、入出力の正規化、端数処理（丸め）等の処理も行う必要があり、様々な箇所で遅延時間発生の原因が存在する。これには、パレル・シフトやシフト量を予測するアルゴリズム等を用いた高速なシフト動作や、効率の良い様々な端数処理方法なども提案されている[10]。著者らはSD数を入出力データとした浮動小数点加算回路を提案した[8]。しかしながら、数値計算の応用には従来の2進数に基づくデータフォーマット規格が使用されている。本稿では、2進数データを外部入出力とし、内部でSD数演算を行う浮動小数点加算回路の構成を提案する。

SD数演算の導入は、2進数の演算数の順番入れ替えや加算による桁上げ伝搬がなくなるメリットがある反面、冗長数表現を持つため、内部で2進数-SD数及びSD数-2進数の変換回路を用意する必要がある。多ビット化によって従来の2進数でのシフトや丸め込みが適用できないので、特にSD数-2進数の変換回路により、遅延時間が増大する可能性もある。そのために、効率的な丸め及びSD数-2進数変換回路を提案する。VHDLによる回路設計及びシミュレーションを行い、従来の浮動小数点加算回路と比較することにより回路性能を考察する。

## 2. 2進浮動小数点数加減算

### 2.1 浮動小数点数表現

実数の表現方法には、固定小数点数表現、浮動小数点数表現、対数表現などがある。その中で浮動小数点数表現は4つの要素による以下の式で表される[2][3]。

$$x = (-1)^n s \times b^e$$

$$\begin{aligned} (-1)^n &: \text{sign (符号)} & s &: \text{significand (仮数)} \\ b &: \text{exponent base (基數)} & e &: \text{exponent (指數)} \end{aligned}$$

データ配列は、先頭より符号・指数・仮数各部分に指定ビット長に分割して解釈する。基數には、多くの場合2あるいは2のべき乗数が用いられる。浮動小数点数表現は、固定小数点数表現を使用した場合と比べ同じデータのビット長で非常に広い範囲の値を扱う長所が挙げられる。

図1はIEEE標準に定められた表現規格を示し、公式には“ANSI/IEEE std 754-1985”という名で知られている[1]。

Biased exponent	Significand s=1.f (the 1 is hidden)	f	: 32 bits
± 1 bit	e + bias 8 bits	23 bits	

図1 IEEE標準規格に定められた浮動小数点表現

配列データ長は2進法で32ビットであり、うち指数部長は8ビット、仮数部長は23ビットである。IEEE754規格では、指数eには $2^8 - 1$ の”bias”(偏り)が存在する。biasとは、指数部がeビット長の時、指数の値を $2^{e-1}$ 分だけ加えた値として解釈するものである。また、仮数sの範囲は[1,2)(1以上2未満)と定められている。この時sの先頭ビットは常に「1」(整数部の1)となるため普段は省略され、実際の仮数ビット列には残りの小数部分の値のみが格納されている。

### 2.2 従来の浮動小数点の加減算回路の構成

2進の浮動小数点演算回路を設計するに当たり、基本となる加減算式は以下の通りである:

$$\begin{aligned} (\pm s_1 \times b^{e_1}) \pm (\pm s_2 \times b^{e_2}) &= (\pm s_1 \pm \frac{\pm s_2}{b^{e_1-e_2}}) \times b^{e_1} \\ &= \pm s \times b^e \quad (e_1 > e_2) \end{aligned}$$

この中で、中間和 $(\pm s_1 \pm \frac{\pm s_2}{b^{e_1-e_2}}) \times b^{e_1}$ について $\times b^{e_1}$ を加算結果の指数部、残りを仮数部として値を返す。この加減算式より回路を設計する場合、式の複雑さを比較して分かるように、回路決定の大部分を占めるのは仮数部分ということになる。よって、仮数部分の高速化を実現するということは、回路全体の遅延時間を大幅に改良できることである。

次に示す図は2進浮動小数加減算器のブロック構成である[4], [11]。

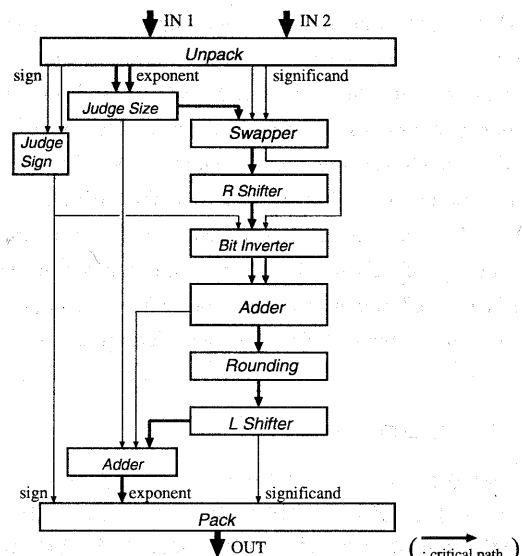


図2 2進浮動小数加減算回路

演算のアルゴリズムは、まず指数部の大小判定により、2入力データの大小を定める。これは、次の仮数部のSwapperで

行き、結果により 2 入力の入れ換えが必要である。入れ換えを行った後、小さい指数値を持つオペランドの仮数は Alignment Shifter で 2 入力データの指数差分に応じて仮数部を右にシフトする。データの値が負であった場合や減算処理の場合は Bit inverter で符号反転により 2 の補数で表現される。仮数の加算は Adder で行われる。特に仮数は多ビットの加算となるため、2 進数加算で特有の“桁上げ伝搬”的な発生により、遅延時間が長くなるという問題が従来の浮動小数点演算回路では起こっていた。Adder 以降は、Rounding での丸め込み処理を行う。出力を正規化 (IEEE754 等) させる場合は、更に Alignment Shifter 等を用いて仮数の値を規格に合うよう揃える必要がある。

指数部は、2 入力のうち大きい値を基にするが、丸め込みによる桁上げや正規化による仮数のシフトによりその値は増減する。よってこの加算動作も Adder であるが、指数部は通常、仮数部と比べビット数は少なく、構成される指数部の Adder は仮数部よりも小さいものになる。

### 3. SD 数演算に基づく浮動小数点数加減算

#### 3.1 SD 数演算

2 進 SD 数は冗長数系であり、各桁を  $1, 0, \bar{1} (\bar{1} = -1)$  の 3 値で表現し、

$$x = \sum_{i=0}^{n-1} x_i 2^i, \quad x_i \in \{\bar{1}, 0, 1\} \quad (1)$$

と表す。例えば  $5 = (0101)_{(2)} = (10\bar{1}\bar{1})_{SD}$  などの、同値表現が複数存在することがある。

SD 数の加算  $s = x + y$  は、まず各桁で並列に中間和  $u_i$  と桁上げ  $c_i$  を求める。

$$u_i + 2c_i = x_i + y_i \quad (2)$$

そして

$$s_i = u_i + c_{i-1} \quad (3)$$

で最終和を求める。式 (2) で中間和  $u_i$  と桁上げ  $c_i$  は、表 1 の演算規則に従い、入力桁の値  $(x_i, y_i)$  と 1 桁下位の値  $(x_{i-1}, y_{i-1})$  を参照し、式 (3) に於ける  $u_i$  と  $c_{i-1}$  が同符号を持たないような値を生成する [6]。

表 1 SD 数系の演算表

$x_i, y_i$	00	01	01	0 $\bar{1}$	0 $\bar{1}$	11	1 $\bar{1}$
$x_{i-1}, y_{i-1}$	-	neither is $\bar{1}$	at least one is $\bar{1}$	neither	at least one is 1	-	-
$c_i$	0	1	0	$\bar{1}$	0	1	$\bar{1}$
$u_i$	0	$\bar{1}$	1	1	$\bar{1}$	0	0

演算の桁上げ伝搬を無くすことによって、全ての桁を独立して並列に計算することができる。

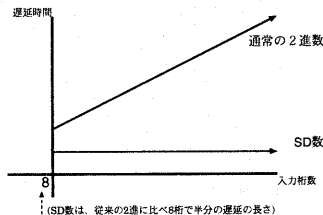


図 3 実行時間の比較

従来の 2 進数の加算では、各桁がそれぞれ下位ビットからの桁上げを順次待つため、桁数に比例して遅延時間が長くなるのが避けられなかった。SD 数系では、上記の方法により各桁が並列での処理が可能となるので、全ての桁の加算を（中間和の生成）→（最終和の生成）2 回の動作で同時に終わらせることが可能となる。

入出力の桁数と、それに伴って発生する回路の遅延時間のグラフは次の図 3 の通りである。

SD 数系での設計による加算回路の実行時間は入出力の桁数に依存しないので、桁数が増えれば増えるほど従来の 2 進数と比べ遅延時間の優位性が顕著になる。

SD 数導入による演算のアルゴリズムは、まず指数部の大小を行なう。小さい指数値を持つオペランドの仮数は Alignment Shifter で 2 つの入力データの指数差分に応じて仮数部を右にシフトする。データの値が負であった場合や減算処理の場合は Bit inverter で符号反転により 1 を  $\bar{1}$  に変換する。加算動作には SD 数で設計された回路 SD Adder を用い、ここで従来発生する桁上げ伝搬を無くし遅延時間を短く抑える。Adder 以降は、Rounding での丸め込み処理や出力の正規化を行う必要があること、および指数部の演算は従来の 2 進数での演算と同様である。

以上より、回路の高速化のため仮数部に SD 数系を導入することを提案する。しかし、SD 数系はその冗長性により 2 進数へ変換するとき新たな桁上げ問題を引き起こすため、高速な丸め込みや正規化処理の方法が必要である。

#### 3.2 SD 数の 2 値符号化

SD 数は冗長数系であり、 $1, 0, \bar{1}$  の 3 値表現であるが、これは 2 値を扱うデジタル回路上では 1 桁を 1 ビットで表せないことになる。よって、SD 数で演算を行うときは 1 桁を 2 進 2 ビットで表す方法をとる必要があり、これを 2 値符号化といふ。

各桁の値  $x_i$  に対し、2 値符号化させた 2 ビットの値  $x_i(1), x_i(0)$  は表 2 通りとなる [9]。

2 値符号化により、回路内部で 2 進  $p$  桁の SD 数の仮数は  $2p$  ビットの 2 値符号列で表すこととなる。入力を ANSI/IEEE 標準規格で考えると、SD 数変換後は図 4 のような指数 8 ビット、仮数 46 ビットの計 54 ビットとなる（“hidden 1” を考慮

表2 SD数の2値符号化

$x_i$	$x_i(1)$	$x_i(0)$
1	0	1
0	0	0
$\bar{1}$	1	0

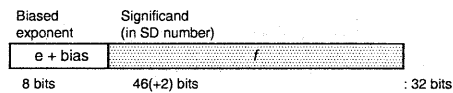


図4 SD数による浮動小数点表現

すると、2値符号化により更に+2ビット)。

2値符号列は、その中にsign(符号)情報を含むため、浮動小数点演算中の符号は仮数が受け持つ。また、このことは演算順番の入れ替えを行う必要がない(Adder結果が負になってしまふ場合のswapperブロックが不要になる利点も生まれる。

### 3.3 SD数-2進数の変換

本研究では、以前はデータの入出力もSD数を想定して回路を設計していた[8]。しかし、これは一般的な既存の浮動小数点演算回路の応用に対し扱いづらいものとなる。よって入出力は従来の2進数を用い、途中で仮数をSD数表現へ変換し、その後でSD数による加算を行い、再び2進数に戻して出力する、という方法をとる。

2進数-SD数の変換回路は単純に表1のように各桁を2値符号化により展開し、その回路をSDCoderと言う。2進数表現はSD数の各桁が同じ符号を持つ特別な数表現と扱われるため、その変換は単純な回路で実現できる。これに対し、SD数を2進数に変換するときは、桁上げが従来の加算と同じように生じる。

SD数-2進数への変換(変換回路をSDDecoderという。)は2値符号化されたSD数を、通常の2進に戻す動作を行う。変換手順は、まず、Adder結果では冗長表現のため1と $\bar{1}$ が混在している。これを、ビット全体を1か $\bar{1}$ のどちらか一意に揃える。揃えた値より符号を判断し、2値符号化の逆により通常の2進数に戻す。

#### 例1: SD Decoderの動作

SD数表現である

$$-5 = (0, 0, \bar{1}, 0, 1, 1)_{(SD)} \quad (4)$$

は、2値符号で表記すると

$$-5 = (00, 00, 10, 00, 01, 01)$$

である。冗長性を無くすため、すべての桁を10あるいは00にする。すなわち、

$$-5 = (00, 00, 00, 10, 00, 10)$$

となる。結果は

$$5 = (0, 0, 0, 1, 0, 1)_{(2)}, \quad sign = 1 \quad (5)$$

となり、通常の2進数として出力する。上記の変換には2進数

加算と同様に桁上げ伝搬が生じる。

### 3.4 正規化とシフトの高速化

2進数に戻した仮数は、その出力をIEEE754に合わせるために正規化させる必要がある。仮数の数表現範囲は[1..2)に制約され、このために仮数に左へ多ビットシフトを行うこととなる。上の例1の場合、例えば先頭桁が $2^0$ とすると、左へ3ビットのシフトを行うが、SD数は冗長性があるため'0'の個数は一意には定まらない。このためには先頭からのシフト量をLeadZeroCircuit等を用いてカウントし、決定する回路shiftamountを用意する必要がある。

例2:

$$3 = (0, 0, 1, \bar{1}, \bar{1}, 1)_{(SD)}, exp = 0 \quad (6)$$

のような加算結果を正規化するため、先頭桁が'0'以外となるまで左へ多ビットのシフトを行う。通常このような場合、上位から'0'の個数をカウントし(LeadZeroCircuit)、その分だけを左へシフトする。

$$12 = (1, \bar{1}, \bar{1}, 1, 0, 0), exp = -2$$

しかし、2値符号を用いて2進数に変換した場合、

$$12 = (01, 10, 10, 01, 00, 00)$$

$$= (00, 00, 01, 01, 00, 00)$$

$$= (0, 0, 1, 1, 0, 0)_{(2)}$$

となり、更に左への多ビットシフトが必要となってしまう。

よって、シフタはDecoderの後にまとめて行うことになる。しかし、設計する回路の中で、DecoderやShiftamountは、比較的規模の大きなブロックであるため、このままの設計では次の図のような構成となり、遅延時間が増大してしまう。

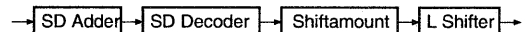


図5 Adder後のブロック

ここで、先の例では、結局必要なシフト量は『先頭の'0'ビット列』+『数値の最大桁の符号とは逆の値が2桁目以降続く場合、そのビット列』である。このことは、シフト量はDecoderで2進数に変換する前に、Adderの結果より求められる。このことに着目すると、実際のシフト動作の前にこれらシフト量を求める回路Shiftamountを用い、Decoderと並列動作させ先読みさせる。

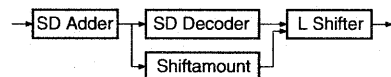


図6 Decoder,Shiftamountの並列化

ShiftamountとDecoderの設計はSD数導入のデメリットではあるが、並列処理により遅延時間を短く抑えることは可能と言える。

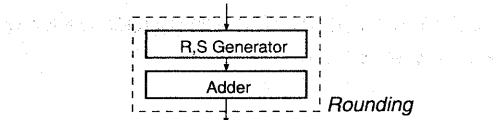


図 7 Rounding の内部処理

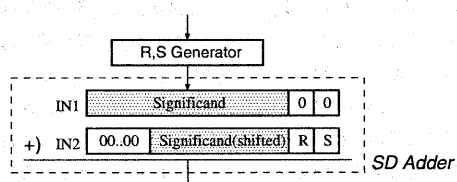


図 8 R,S の Adder への追加

### 3.5 端数処理の高速化

コンピュータ上での数値計算では、出力の正規化や、丸め込み結果が十分正確な精度長をとるために、*ulp*(最小位桁)以下右に拡張ビットを保持する考え方があり、これをガードビットと呼ぶ。通常、2進数での丸め込み処理の場合、

- R (Round bit): *ulp* 未満第1桁
- S (Sticky bit): 第2桁以降、全ビットを OR でとる必要となる。R が切り上げ／捨ての判定を行い、S は誤差の有無の存在を示す (rounding-to-nearest-“even” scheme 等別の丸め込み方法等を使う場合この限りではない)。

ここで、R ビットの切り上げ動作は、加算のため桁上げ伝搬が発生する、これは僅か'1'の加算ではあるが、無視できない遅延時間を持つ回路を生成する。よって、Rounding ブロックは、詳細には図 7 のような『R,S 生成』『切り上げのための加算』の2つの処理によって構成されている。

SD 数系の場合に於いても、通常この桁上げ伝搬は発生する上、更に2値符号化の問題もあり、実際の回路上では桁上げが発生したので単純に結果に+'1'、とはいかない問題もある。

しかし、加算規則により SD 数系は冗長性がありかつ各桁は並列に演算される、この長所を用いて桁上げ伝搬の起こらない端数処理を考察すると、次の場合が考えられる

( $S_0$ : 加算結果の最小位桁 (*ulp*)) :

- 端数が正方向切上 →  $S_0 \neq' 1'$
- 端数が負方向切上 →  $S_0 \neq' \bar{1}'$

この条件が保証されている限り、桁上げは *ulp* でストップし以後の伝搬は起こらない。

*ulp* 桁の加減算では、表 2 の  $x_{i-1}, y_{i-1}$  の参照は（存在しないため）デフォルトで双方共に'0'となる。この値は変えてても結果に影響は無いので、上記の条件に沿うように参照の値を変更する。ただし、Adder で既に丸め込み結果を知る必要があるので、予め R,S Generator を用いてガードビットを生成しておく（図 8）。この結果を  $x_{i-1}, x_{i-2}$  に代入すれば ( $y_{i-1}, y_{i-2} = "00"$ )、結局、仮数の加算で通常は存在しない('0'である)  $c_{-1}$  を丸め込みの結果がその役割を果たすため、これらの動作をまとめることにより SD 数での加減算ではやはり桁上げ伝搬を起こさない。

例 3: 2 入力の加算 A+B を考える。

$$\begin{cases} A = -2^3 \times 1.10000001 \\ B = 2^1 \times 1.0000001 \end{cases}$$

SD 数での加算のための前処理として、シフトとビット反転、ガードビット生成までの処理を行った仮数部の値は次の通りとなる。

Sig A	$\bar{1}.1000000\bar{1}$
Sig B aligned	0.01100001 R:1,S:1

右シフトを行うのは小さい方のオペランドのみなので、R,S は Adder の前に求められる。通常、丸め込みは Adder の後で処理するが、生成されたガードビットをここで加算の下2桁に含める。

Sig A	$\bar{1}.1000000\bar{1}$	00
Sig B aligned	0.01100001	11
$c_i$	$\bar{1}0.11000001$	1
$u_i$	0.10101100	11
Sig A+B	$\bar{1}.00\bar{1}00001$	01

この演算で出た仮数の Adder 結果 Sig A+B は、SD 数の加算規則と R,S の生成規則により切り上げでも *ulp* を越えて桁上げは起こらない。このため、Rounding 中の Adder 部分が生成されないためその分の回路面積・遅延時間ともに少なくなる。

SD 数系の特徴を生かした桁上げ伝搬の発生しない端数処理は、通常の2進数での演算と比べて大きなメリットとなるだろう。

### 4. VHDL による演算回路の設計と回路評価

図 9 は SD 数を導入した場合の2進浮動小数加減算回路のブロック構成である。

これまでより、まず演算の順番入れ換える必要がないので Swapper ブロックが不要となった。Adder 本体は SD 数による加算とし、また、Rounding は桁上げが起こらない（桁上げによる加算が発生しない）ので、Adder 前のガードビット生成 R,S Generator のみとなった。一方、2進数-SD 数変換のため SD Coder と Decoder を追加した。また、シフト量決定回路 Shiftamount は 3.5 節により Decoder と並列な動作とした。

表 3 は、浮動小数点演算回路を SD 数を用いた場合と従来の2進数での場合双方で回路設計を行い、回路面積・遅延時間を比較した結果である。回路設計は VHDL を使用し [12]、 $1\mu m$  CMOS のゲートアレーにより評価を行った。

SD 数の導入では、Swapper が不要なこと、Adder, Rounding で桁上げ伝搬が起こらないことがメリットであ

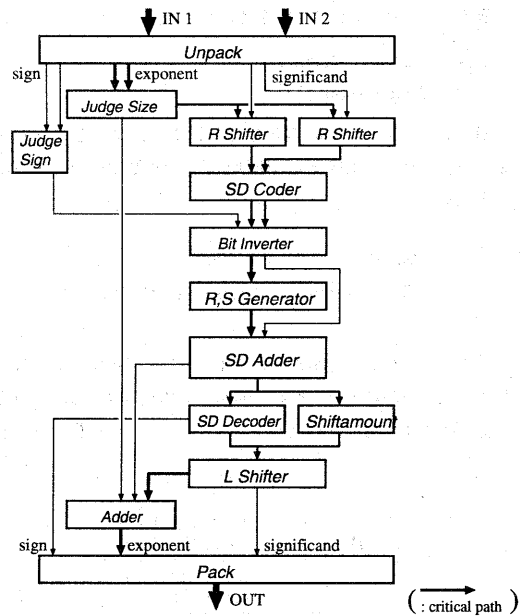


図 9 2進 SD 数浮動小数加減算回路

表 3 回路最適化後の結果

回路評価	回路面積		遅延時間 [ns]	
主なブロック	2進	2進 SD	2進	2進 SD
Swapper	118	—	18.93	—
Adder	228	534	26.90	5.93
Rounding(RS Gene)	244	244	8.34	8.34
Rounding(Adder)	65	—	9.75	—
SD Coder	—	24	—	0.79
SD Decoder	—	208	—	26.91
Shiftamount	—	172	—	(24.39)
Total	945	1449	92.90	71.79

り、これらのブロックでは遅延時間の短縮となった。Adder では、各桁の演算が 2 回のステップを持つことにより回路面積は大きくなっている。

Coder,Decoder,Shiftamount 各ブロックに相当する回路を新たに追加しなければならないのはデメリットだが、前述の並列動作によって、Decoder と Shiftamount のどちらか片方（遅延時間の長い方）が Critical Path となるため、遅延時間の増加は少なく抑えている。

実際のデジタル回路における演算回路の運用では、加算処理は何千、何万回と繰り返し行われることが多い。SD 数導入の利点は、Adder 本体の高速化が主であるため、これは加算を繰り返す度累積される。一方、外部の入出力で従来の 2 進数と想定した場合においても、加算処理の繰り返しは内部で行えれば良いため、2 進-SD 2 進の変換回路は繰り返しの最初と最後ただ 1 回ずつ用いれば済む。

以上を考慮すれば、SD 数を導入した加算回路は従来の 2 進

数の設計と比してより高速になり、回路が大規模になる程有効であることが明らかにされている。

## 5. まとめ

本稿では、SD 数演算を従来の 2 進数浮動小数点加算回路に導入することを提案した。提案の浮動小数点加算回路では、従来の 2 進数浮動小数点回路の 2 進数入出力データフォーマットを持ち、内部の加算が SD 数加算器で行われる。したがって、演算順番の入れ替えが不用となり、2 進数加算による桁上げ伝搬を無くすことができる。また、SD 数を導入した際に起こる SD 数→2 進数の変換など幾つかの問題点とその解決方法について議論した。VHDL による回路設計および性能評価を行い、従来の方法に比べ高速な浮動小数点加算回路が得られることが明らかにした。

## 文 献

- [1] ANSI/IEEE Standard 754-1985 for Binary Floating-point Arithmetic, IEEE, 1985.
- [2] Israel Koren, "COMPUTER ARITHMETIC ALGORITHMS", Prentice-Hall International Editions, 1993.
- [3] Behrooz Parhami, "COMPUTER ARITHMETIC : algorithms and hardware designs", Oxford University Press, 1999.
- [4] H.Suzuki,Y.Nakase,H.Makino,H.Morinaka,K.Mashiko and T.sumi, "Leading-zero Anticipatory Logic for High-speed Floating Point Addition", 信学技報 Technical Report of IEICE DSP95-98 ICD95-147, 1995.
- [5] A.avizienis, "Signed-digit number representations for fast parallel arithmetic", IRE Trans.Elect.Comput.,EC-10,pp.389-400, 1961.
- [6] N.Takagi, H.Yasuura and S.Yajima, "High-speed VLSI multiplication algorithm with a redundant binary addition tree," IEEE Trans.Comput., vol.C-34, no.9, pp.789-796, Sept.1985.
- [7] S.Wei and K.Shimizu, "A Novel Residue Arithmetic Hardware Algorithm Using a Signed-Digit Number Representation" IEICE TRANS.INF.&SYST.,Vol.E83-D, No.12,pp.2056-2064, 2000.
- [8] 細川 純一、魏 書剛, SD 数演算を用いた浮動小数点算術演算回路, 電子情報通信学会 2002 年総合大会講演論文集, C-12-25, 2002.
- [9] H. Makino, Y. Nakase, H. Suzuki, H. morinaka, H. Shinohara and K. Mashiko, "An 8.8-ns 54 × 54-bit multiplier with high-speed redundant binary architecture," IEEE J.Solid-State Circuits, vol.31, pp.773-782, June 1996.
- [10] K.C.Chang "Digital Systems Design with VHDL and Synthesis", IEEE Computer Society, pp.132-137, 1999.
- [11] Woo-Chan Park, "Design of the Floating-point Adder Supporting the Format Conversion and the Rounding Operations with Simultaneous Rounding Scheme", IEICE Trans.Inf.&Syst., Vol.E85-D, No.8, 2002.
- [12] J.Bhasker, "A VHDL Primer", CQ 出版社, 1995.